

**N**

# Datenblatt / Data sheet

**eupc**
**Netz-Thyristor-Modul  
Phase Control Thyristor Modul**
**TT61N**
**TT61N**
**TD61N**
**DT61N**
**TT61N..K..-A**
**TD61N..K..-A**
**TT61N..K..-K**
**DT61N..K..-K**
**Elektrische Eigenschaften / Electrical properties**

Höchstzulässige Werte / Maximum rated values

Periodische Vorwärts- und Rückwärts-Spitzensperrspannung repetitive peak forward and reverse voltages	$T_{vj} = -40^\circ\text{C} \dots T_{vj\ max}$	$V_{DRM}, V_{RRM}$	1200 1600	1400	V V
Vorwärts-Stoßspitzenperrspannung non-repetitive peak forward off-state voltage	$T_{vj} = -40^\circ\text{C} \dots T_{vj\ max}$	$V_{DSM}$	1200 1600	1400	V V
Rückwärts-Stoßspitzenperrspannung non-repetitive peak reverse voltage	$T_{vj} = +25^\circ\text{C} \dots T_{vj\ max}$	$V_{RSM}$	1300 1700	1500	V V
Durchlaßstrom-Grenzeffektivwert maximum RMS on-state current		$I_{TRMSM}$		120	A
Dauergrenzstrom average on-state current	$T_C = 85^\circ\text{C}$ $T_C = 76^\circ\text{C}$	$I_{TAVM}$		60 76	A A
Stoßstrom-Grenzwert surge current	$T_{vj} = 25^\circ\text{C}, t_p = 10\text{ ms}$ $T_{vj} = T_{vj\ max}, t_p = 10\text{ ms}$	$I_{TSM}$		1550 1400	A A
Grenzlastintegral $I^2t$ -value	$T_{vj} = 25^\circ\text{C}, t_p = 10\text{ ms}$ $T_{vj} = T_{vj\ max}, t_p = 10\text{ ms}$	$I^2t$		12000 9800	$\text{A}^2\text{s}$ $\text{A}^2\text{s}$
Kritische Stromsteilheit critical rate of rise of on-state current	DIN IEC 747-6 $f = 50\text{ Hz}, i_{GM} = 1\text{ A}, di_G/dt = 1\text{ A}/\mu\text{s}$	$(di_T/dt)_{cr}$		150	$\text{A}/\mu\text{s}$
Kritische Spannungssteilheit critical rate of rise of off-state voltage	$T_{vj} = T_{vj\ max}, v_D = 0,67 V_{DRM}$ 6.Kennbuchstabe / 6 <sup>th</sup> letter F	$(dv_D/dt)_{cr}$		1000	$\text{V}/\mu\text{s}$

**Charakteristische Werte / Characteristic values**

Durchlaßspannung on-state voltage	$T_{vj} = T_{vj\ max}, i_T = 300\text{ A}$	$V_T$	max.	1,9	V
Schleusenspannung threshold voltage	$T_{vj} = T_{vj\ max}$	$V_{(TO)}$		0,8	V
Ersatzwiderstand slope resistance	$T_{vj} = T_{vj\ max}$	$r_T$		3,4	$\text{m}\Omega$
Zündstrom gate trigger current	$T_{vj} = 25^\circ\text{C}, v_D = 6\text{ V}$	$I_{GT}$	max.	120	mA
Zündspannung gate trigger voltage	$T_{vj} = 25^\circ\text{C}, v_D = 6\text{ V}$	$V_{GT}$	max.	1,4	V
Nicht zündender Steuerstrom gate non-trigger current	$T_{vj} = T_{vj\ max}, v_D = 6\text{ V}$ $T_{vj} = T_{vj\ max}, v_D = 0,5 V_{DRM}$	$I_{GD}$	max.	5,0	mA
Nicht zündende Steuerspannung gate non-trigger voltage	$T_{vj} = T_{vj\ max}, v_D = 0,5 V_{DRM}$	$V_{GD}$	max.	2,5	mA
Haltestrom holding current	$T_{vj} = 25^\circ\text{C}, v_D = 6\text{ V}, R_A = 5\ \Omega$	$I_H$	max.	200	mA
Einraststrom latching current	$T_{vj} = 25^\circ\text{C}, v_D = 6\text{ V}, R_{GK} \geq 10\ \Omega$ $i_{GM} = 1\text{ A}, di_G/dt = 1\text{ A}/\mu\text{s}, t_g = 20\ \mu\text{s}$	$I_L$	max.	620	mA
Vorwärts- und Rückwärts-Sperrstrom forward off-state and reverse current	$T_{vj} = T_{vj\ max}$ $v_D = V_{DRM}, v_R = V_{RRM}$	$I_D, I_R$	max.	20	mA
Zündverzug gate controlled delay time	DIN IEC 747-6 $T_{vj} = 25^\circ\text{C}, i_{GM} = 1\text{ A}, di_G/dt = 1\text{ A}/\mu\text{s}$	$t_{gd}$	max.	3	$\mu\text{s}$

prepared by:	C.Drilling	date of publication:	18.12.01
approved by:	J. Novotny	revision:	1

**N**

# Datenblatt / Data sheet

**eupc**
**Netz-Thyristor-Modul  
Phase Control Thyristor Modul**
**TT61N**
**Elektrische Eigenschaften / Electrical properties**

Charakteristische Werte / Characteristic values

Freiwerdezeit circuit commutated turn-off time	$T_{vj} = T_{vj \max}, i_{TM} = I_{TAVM}$ $V_{RM} = 100 \text{ V}, V_{DM} = 0,67 V_{DRM}$ $dV/dt = 20 \text{ V}/\mu\text{s}, -di/dt = 10 \text{ A}/\mu\text{s}$ 5.Kennbuchstabe / 5 <sup>th</sup> letter O	$t_q$	typ.	120	$\mu\text{s}$
Isolations-Prüfspannung insulation test voltage	RMS, f = 50 Hz, t = 1 min RMS, f = 50 Hz, t = 1 sec	$V_{ISOL}$		2,5 3,0	kV kV

**Thermische Eigenschaften / Thermal properties**

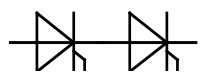
Innerer Wärmewiderstand thermal resistance, junction to case	pro Modul / per Module, $\Theta = 180^\circ \text{ sin } 90^\circ$ pro Zweig / per arm, $\Theta = 180^\circ \text{ sin } 90^\circ$ pro Modul / per Module, DC pro Zweig / per arm, DC	$R_{thJC}$	max.	0,26 0,52 0,25 0,50	$^\circ\text{C}/\text{W}$ $^\circ\text{C}/\text{W}$ $^\circ\text{C}/\text{W}$ $^\circ\text{C}/\text{W}$
Übergangs-Wärmewiderstand thermal resistance, case to heatsink	pro Modul / per Module pro Zweig / per arm	$R_{thCH}$	max. max.	0,08 0,16	$^\circ\text{C}/\text{W}$ $^\circ\text{C}/\text{W}$
Höchstzulässige Sperrschichttemperatur maximum junction temperature		$T_{vj \max}$		125	$^\circ\text{C}$
Betriebstemperatur operating temperature		$T_{c op}$		-40...+125	$^\circ\text{C}$
Lagertemperatur storage temperature		$T_{stg}$		-40...+130	$^\circ\text{C}$

**Mechanische Eigenschaften / Mechanical properties**

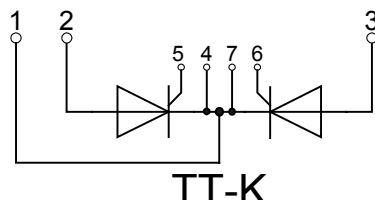
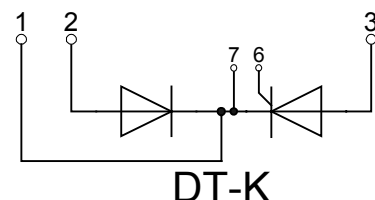
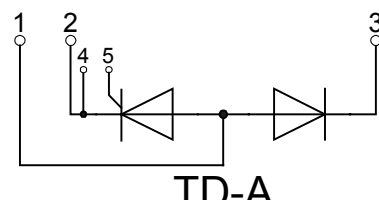
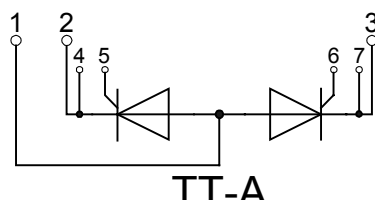
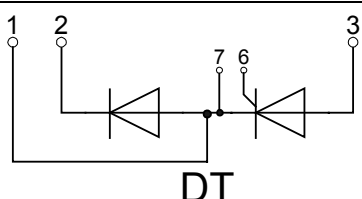
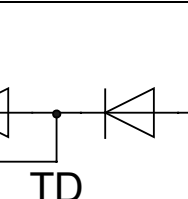
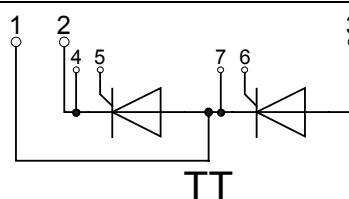
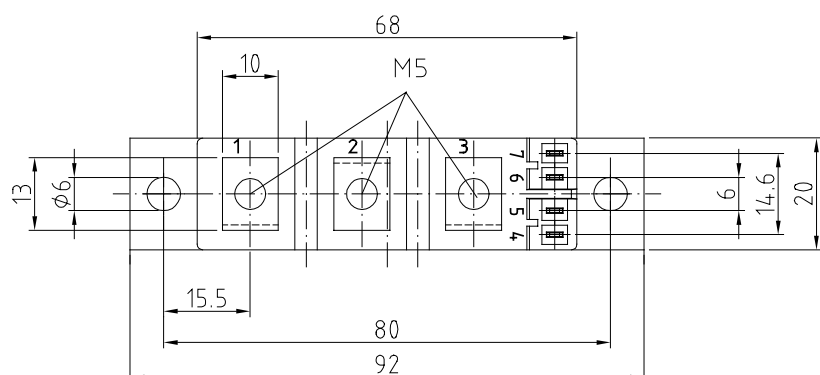
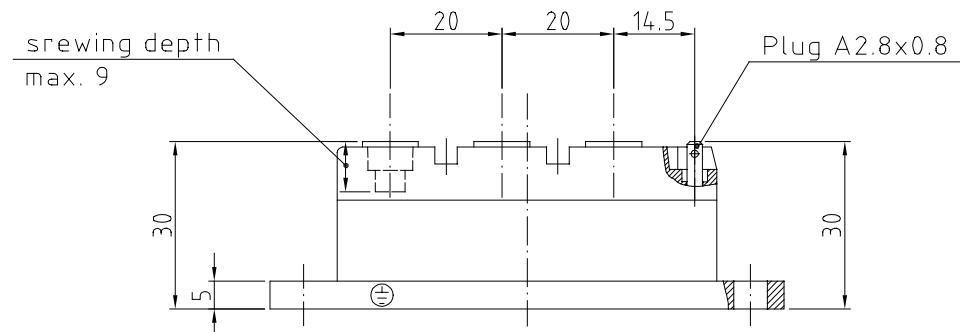
Gehäuse, siehe Anlage case, see annex			Seite 3 page 3	
Si-Element mit Druckkontakt Si-pellet with pressure contact				
Innere Isolation internal insulation			AlN	
Anzugsdrehmoment für mechanische Anschlüsse mounting torque	Toleranz / Tolerance $\pm 15\%$	M1	4	Nm
Anzugsdrehmoment für elektrische Anschlüsse terminal connection torque	Toleranz / Tolerance + 5% / - 10%	M2	4	Nm
Steueranschlüsse control terminals	DIN 46 244		A 2,8 x 0,8	
Gewicht weight		G	typ. 160	g
Kriechstrecke creepage distance			12,5	mm
Schwingfestigkeit vibration resistance	f = 50 Hz		50	m/s <sup>2</sup>
UL-gelistet UL listed	file-No.		E 83336	

Mit diesem Datenblatt werden Halbleiterbauelemente spezifiziert, jedoch keine Eigenschaften zugesichert. Sie gilt in Verbindung mit den zugehörigen technischen Erläuterungen.

This data sheet specifies semiconductor devices, but promises no characteristics. It is valid in combination with the belonging technical notes.

**N**

## Datenblatt / Data sheet

**eupc**Netz-Thyristor-Modul  
Phase Control Thyristor Modul**TT61N**

**N**

# Datenblatt / Data sheet

**eupc**
**Netz-Thyristor-Modul  
Phase Control Thyristor Modul**
**TT61N**
**Analytische Elemente des transienten Wärmewiderstandes  $Z_{thJC}$  für DC  
Analytical elements of transient thermal impedance  $Z_{thJC}$  for DC**

Pos. n	1	2	3	4	5	6	7
$R_{thn}$ [°C/W]	0,0218	0,0426	0,1886	0,2470			
$\tau_n$ [s]	0,000945	0,01	0,31	1,762			

**Analytische Funktion / Analytical function:**

$$Z_{thJC} = \sum_{n=1}^{n_{\max}} R_{thn} \left( 1 - e^{-\frac{t}{\tau_n}} \right)$$

**Natürliche Kühlung / Natural cooling  
3 Module pro Kühler / 3 modules per heatsink  
Kühler / Heatsink type: KM14 (50W)**
**Analytische Elemente des transienten Wärmewiderstandes  $Z_{thCA}$   
Analytical elements of transient thermal impedance  $Z_{thCA}$** 

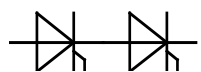
Pos. n	1	2	3	4	5	6	7
$R_{thn}$ [°C/W]	0,007	0,191	0,142	2,12			
$\tau_n$ [s]	0,858	6,07	47,7	917			

**Verstärkte Kühlung / Forced cooling  
3 Module pro Kühler / 3 modules per heatsink  
Kühler / Heatsink type: KM14 (Papst 4650N)**
**Analytische Elemente des transienten Wärmewiderstandes  $Z_{thCA}$   
Analytical elements of transient thermal impedance  $Z_{thCA}$** 

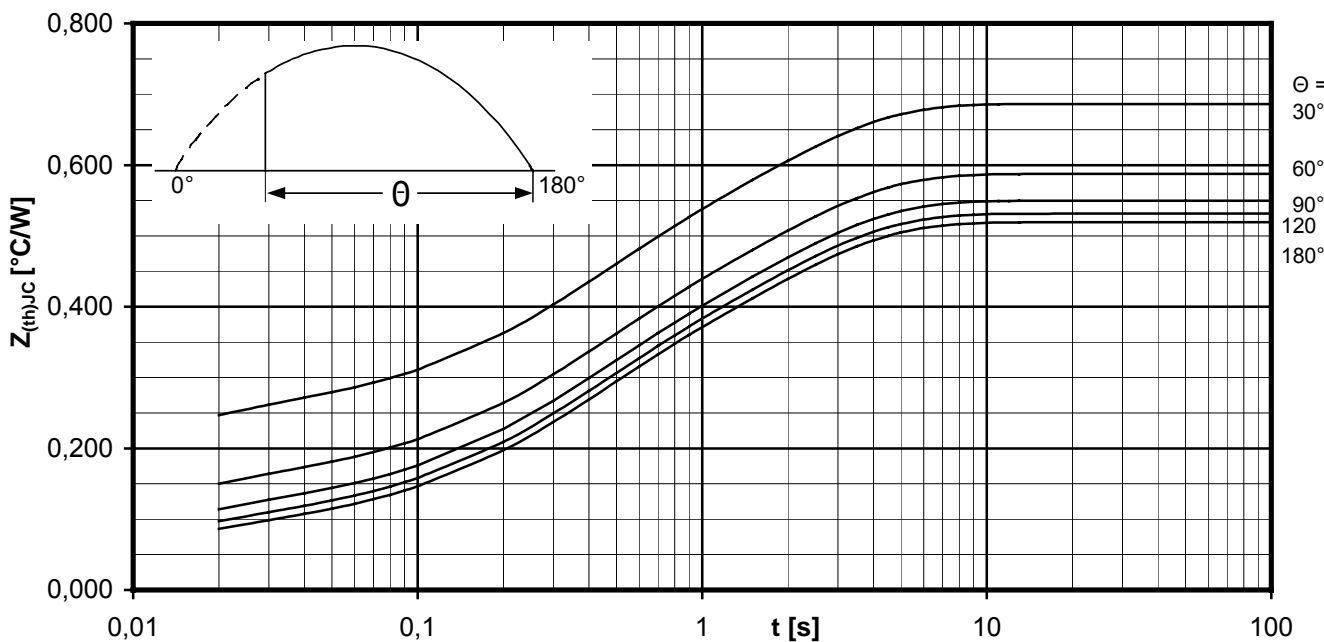
Pos. n	1	2	3	4	5	6	7
$R_{thn}$ [°C/W]	0,007	0,191	0,142	0,570			
$\tau_n$ [s]	0,858	6,07	47,7	247			

**Analytische Funktion / Analytical function:**

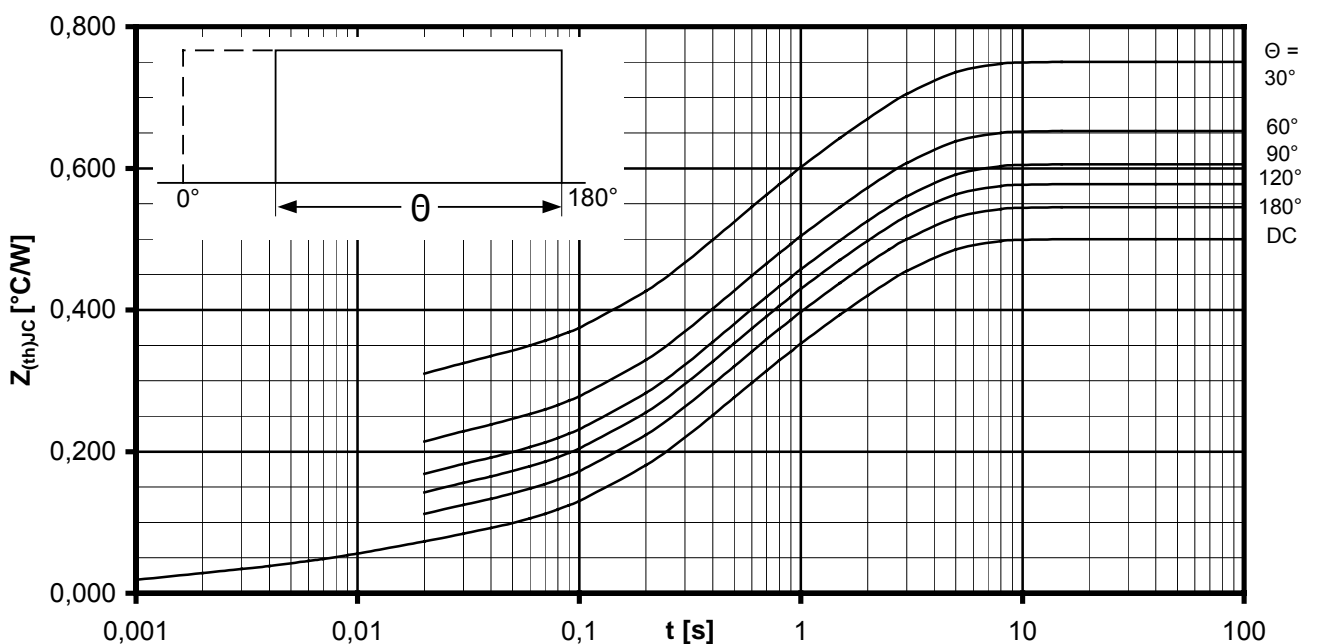
$$Z_{thCA} = \sum_{n=1}^{n_{\max}} R_{thn} \left( 1 - e^{-\frac{t}{\tau_n}} \right)$$

**N**

## Datenblatt / Data sheet

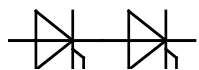
**eupc**Netz-Thyristor-Modul  
Phase Control Thyristor Modul**TT61N**Transienter innerer Wärmewiderstand je Zweig / Transient thermal impedance per arm  $Z_{thJC} = f(t)$ 

Sinusförmiger Strom / Sinusoidal current

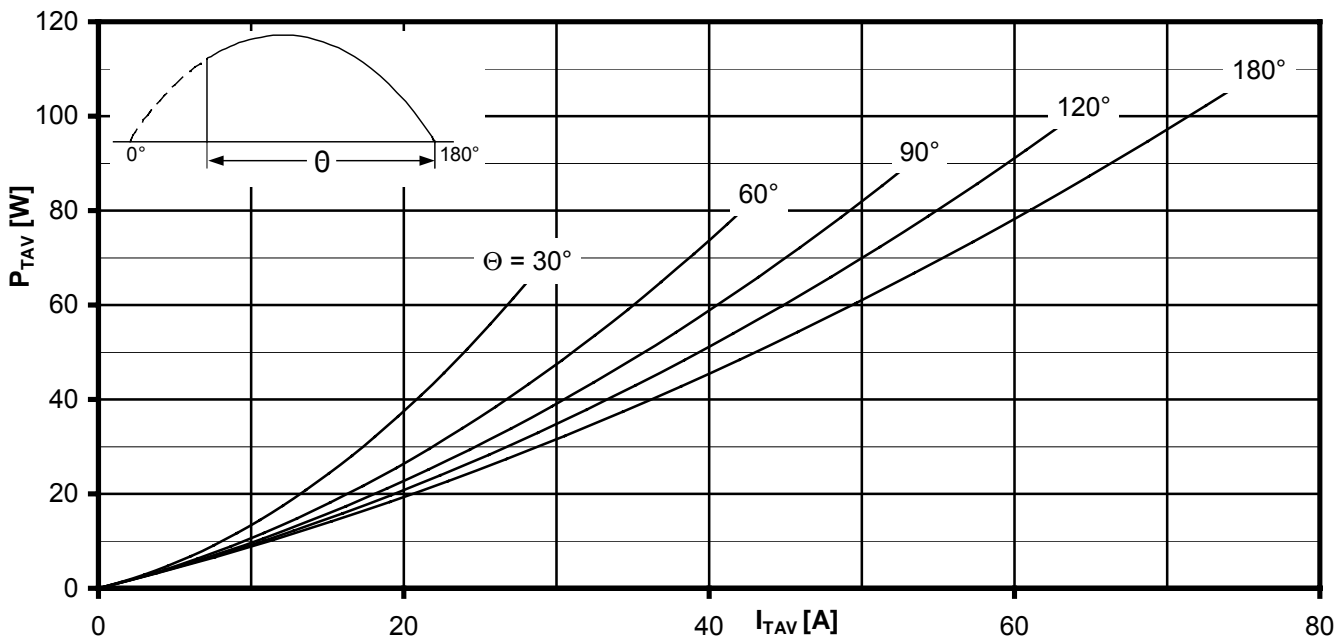
Parameter: Stromflußwinkel  $\Theta$  / Current conduction angle  $\Theta$ Transienter innerer Wärmewiderstand je Zweig / Transient thermal impedance per arm  $Z_{thJC} = f(t)$ 

Rechteckförmiger Strom / Rectangular current

Parameter: Stromflußwinkel  $\Theta$  / Current conduction angle  $\Theta$

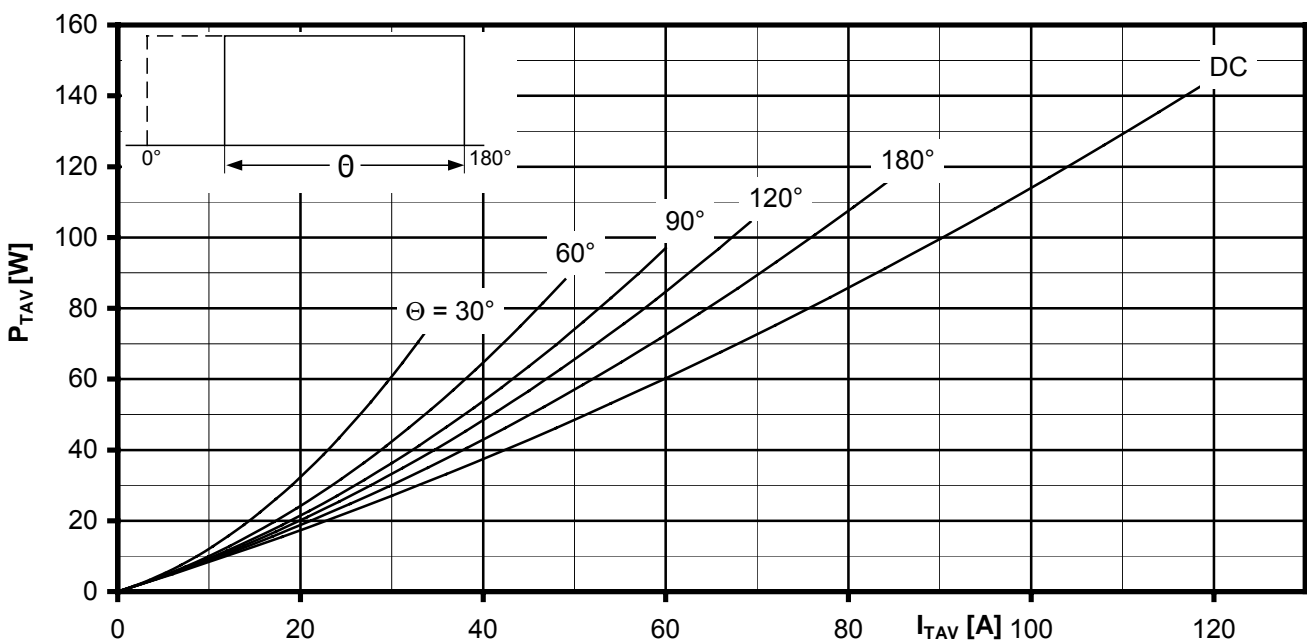
**N**

## Datenblatt / Data sheet

**eupc**Netz-Thyristor-Modul  
Phase Control Thyristor Modul**TT61N**Durchlassverlustleistung je Zweig / On-state power loss per arm  $P_{TAV} = f(I_{TAV})$ 

Sinusförmiger Strom / Sinusoidal current    Strombelastung je Zweig / Current load per arm

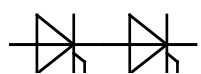
**Berechnungsgrundlage  $P_{TAV}$  (Schaltverluste gesondert berücksichtigen)**  
**Calculation base  $P_{TAV}$  (switching losses should be considered separately)**

Parameter: Stromflußwinkel / Current conduction angle  $\Theta$ Durchlassverlustleistung je Zweig / On-state power loss per arm  $P_{TAV} = f(I_{TAV})$ 

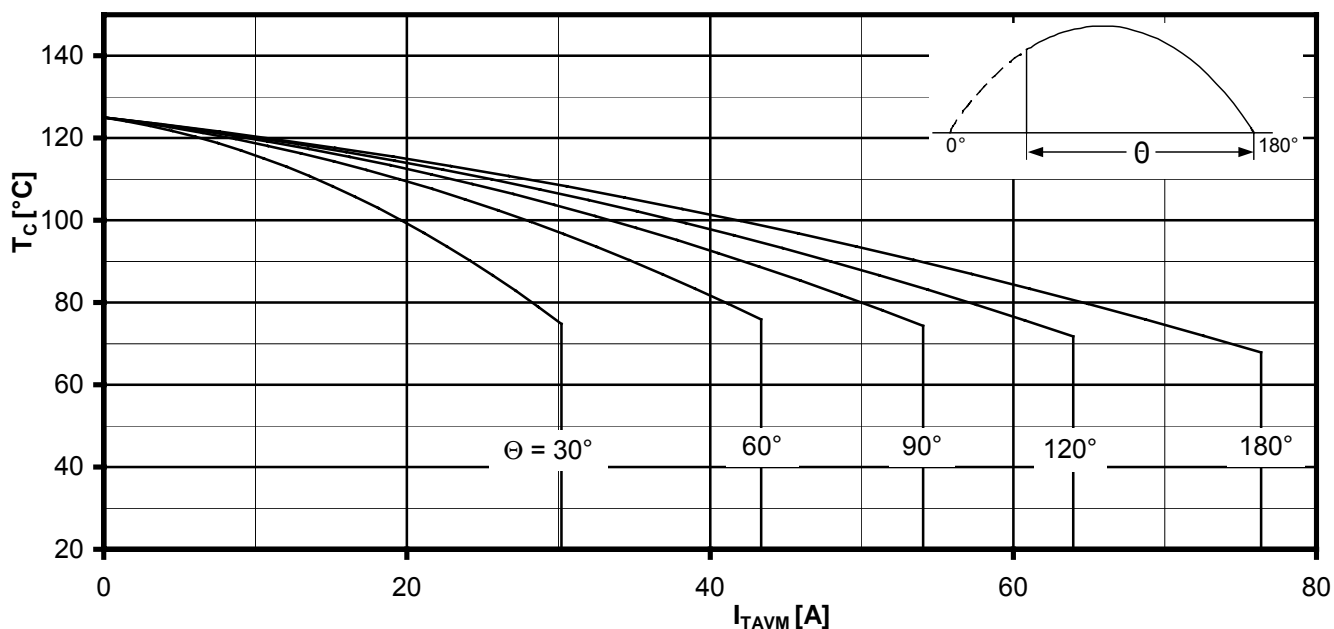
Rechteckförmiger Strom / Rectangular current    Strombelastung je Zweig / Current load per arm

**Berechnungsgrundlage  $P_{TAV}$  (Schaltverluste gesondert berücksichtigen)**  
**Calculation base  $P_{TAV}$  (switching losses should be considered separately)**

Parameter: Stromflußwinkel / Current conduction angle  $\Theta$

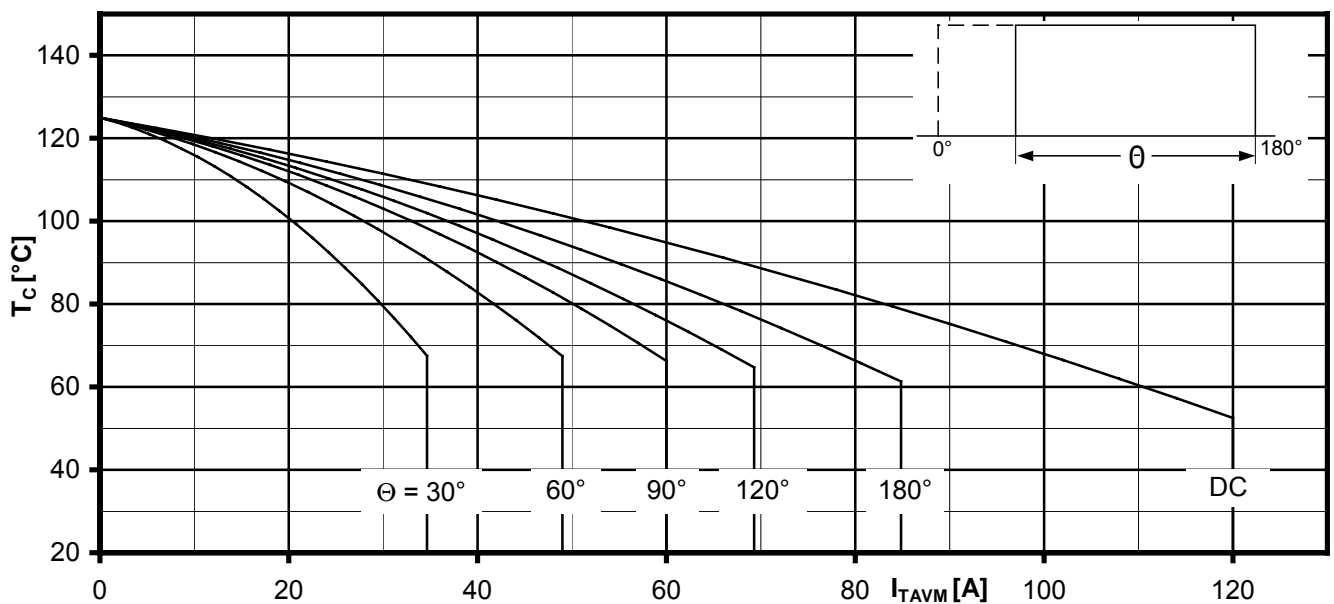
**N**

## Datenblatt / Data sheet

**eupc**Netz-Thyristor-Modul  
Phase Control Thyristor Modul**TT61N**Höchstzulässige Gehäusetemperatur / Maximum allowable case temperature  $T_c = f(I_{TAVM})$ 

Sinusförmiger Strom / Sinusoidal current Strombelastung je Zweig / Current load per arm

**Berechnungsgrundlage  $P_{TAV}$  (Schaltverluste gesondert berücksichtigen)**  
**Calculation base  $P_{TAV}$  (switching losses should be considered separately)**

Parameter: Stromflußwinkel  $\Theta$  / Current conduction angle  $\Theta$ Höchstzulässige Gehäusetemperatur / Maximum allowable case temperature  $T_c = f(I_{TAVM})$ 

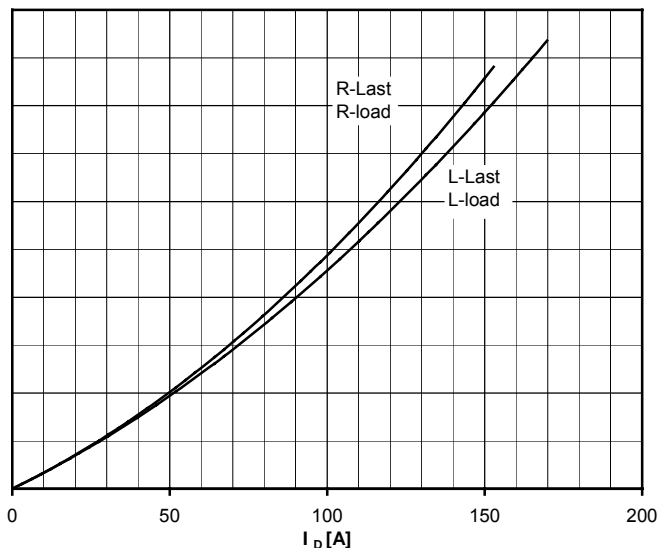
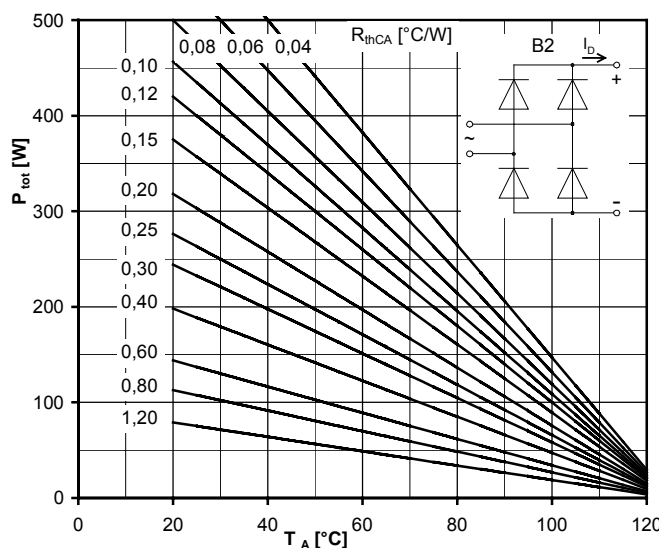
Rechteckförmiger Strom / Rectangular current Strombelastung je Zweig / Current load per arm

**Berechnungsgrundlage  $P_{TAV}$  (Schaltverluste gesondert berücksichtigen)**  
**Calculation base  $P_{TAV}$  (switching losses should be considered separately)**

Parameter: Stromflußwinkel  $\Theta$  / Current conduction angle  $\Theta$

**N**

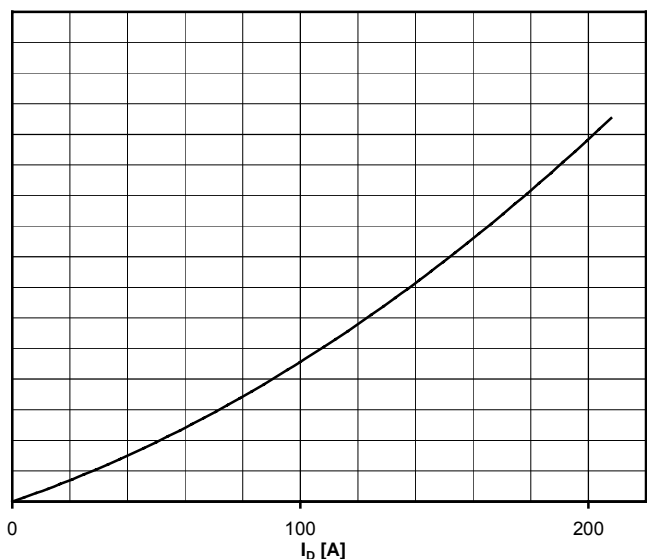
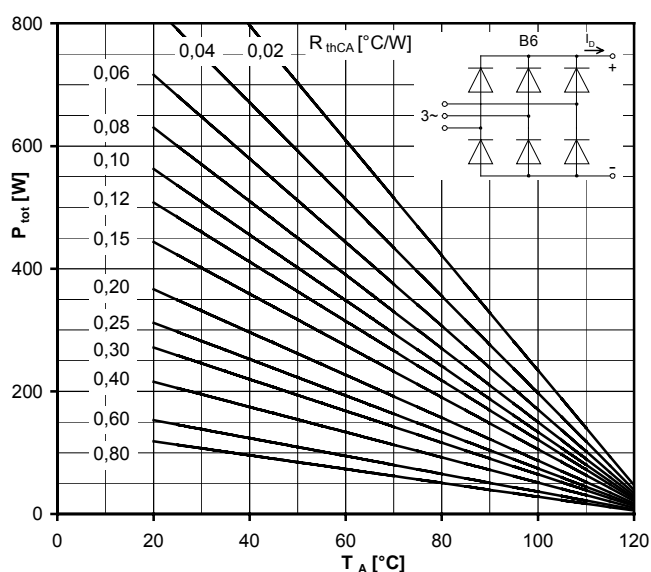
# Datenblatt / Data sheet

**eupc**
**Netz-Thyristor-Modul  
Phase Control Thyristor Modul**
**TT61N**

**Höchstzulässiger Ausgangsstrom / Maximum rated output current  $I_D$** 

B2- Zweipuls-Brückenschaltung / Two-pulse bridge circuit

 Gesamtverlustleistung der Schaltung / Total power dissipation at circuit  $P_{\text{tot}}$ 

Parameter:

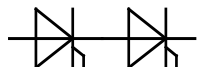
 Wärmewiderstand zwischen den Gehäusen und Umgebung / Thermal resistance cases to ambient  $R_{\text{thCA}}$ 

**Höchstzulässiger Ausgangsstrom / Maximum rated output current  $I_D$** 

B6- Sechspuls-Brückenschaltung / Six-pulse bridge circuit

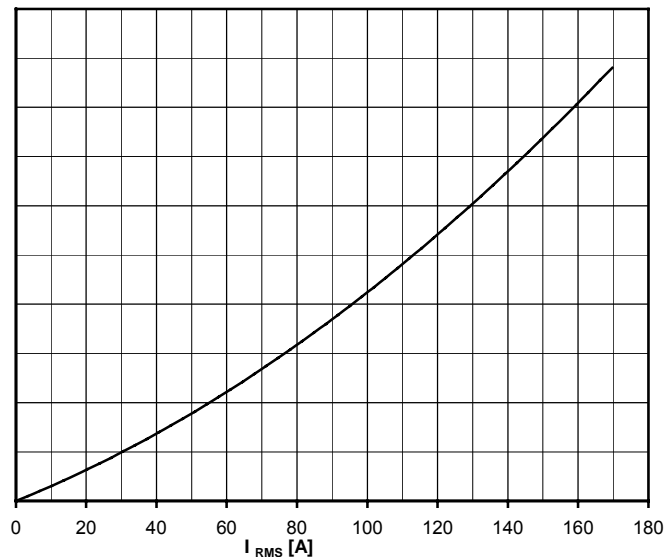
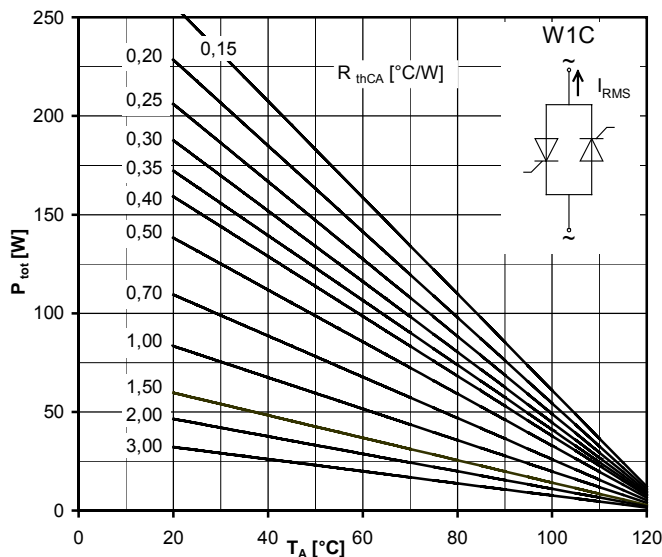
 Gesamtverlustleistung der Schaltung / Total power dissipation at circuit  $P_{\text{tot}}$ 

Parameter:

 Wärmewiderstand zwischen den Gehäusen und Umgebung / Thermal resistance cases to ambient  $R_{\text{thCA}}$

**N**

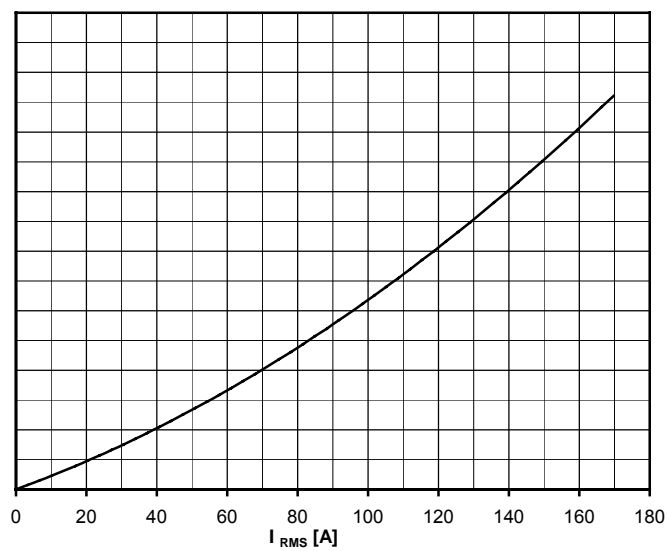
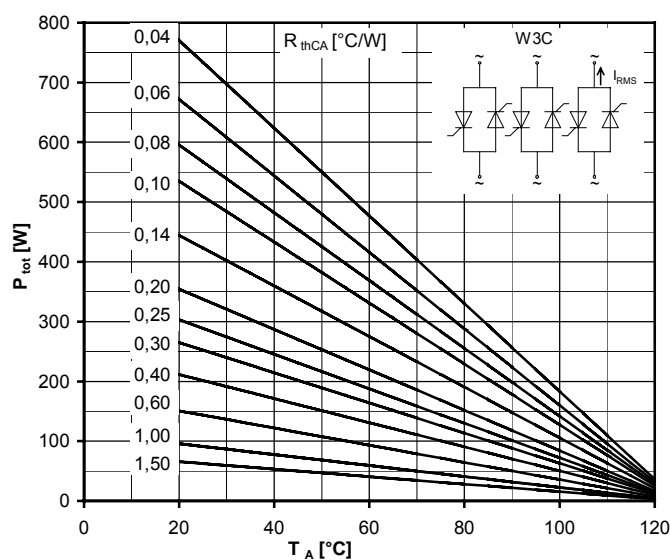
# Datenblatt / Data sheet

**eupc**
**Netz-Thyristor-Modul  
Phase Control Thyristor Modul**
**TT61N**

**Höchstzulässiger Effektivstrom / Maximum rated RMS current  $I_{\text{RMS}}$** 

W1C - Einphasen-Wechselwegschaltung / Single-phase inverse parallel circuit

 Gesamtverlustleistung der Schaltung / Total power dissipation at circuit  $P_{\text{tot}}$ 

Parameter:

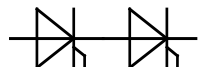
 Wärmewiderstand zwischen den Gehäuse und Umgebung / Thermal resistance case to ambient  $R_{\text{thCA}}$ 

**Höchstzulässiger Effektivstrom / Maximum rated RMS current  $I_{\text{RMS}}$** 

W3C - Dreiphasen-Wechselwegschaltung / Three-phase inverse parallel circuit

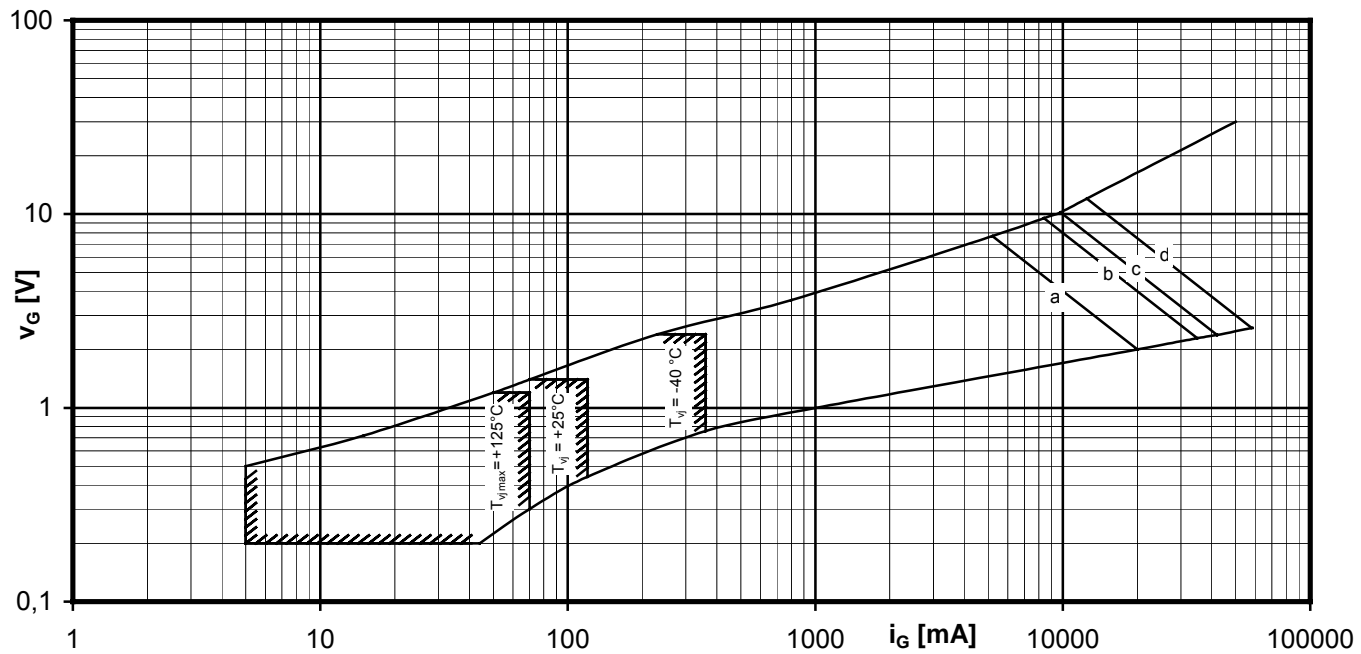
 Gesamtverlustleistung der Schaltung / Total power dissipation at circuit  $P_{\text{tot}}$ 

Parameter:

 Wärmewiderstand zwischen den Gehäusen und Umgebung / Thermal resistance cases to ambient  $R_{\text{thCA}}$

**N**

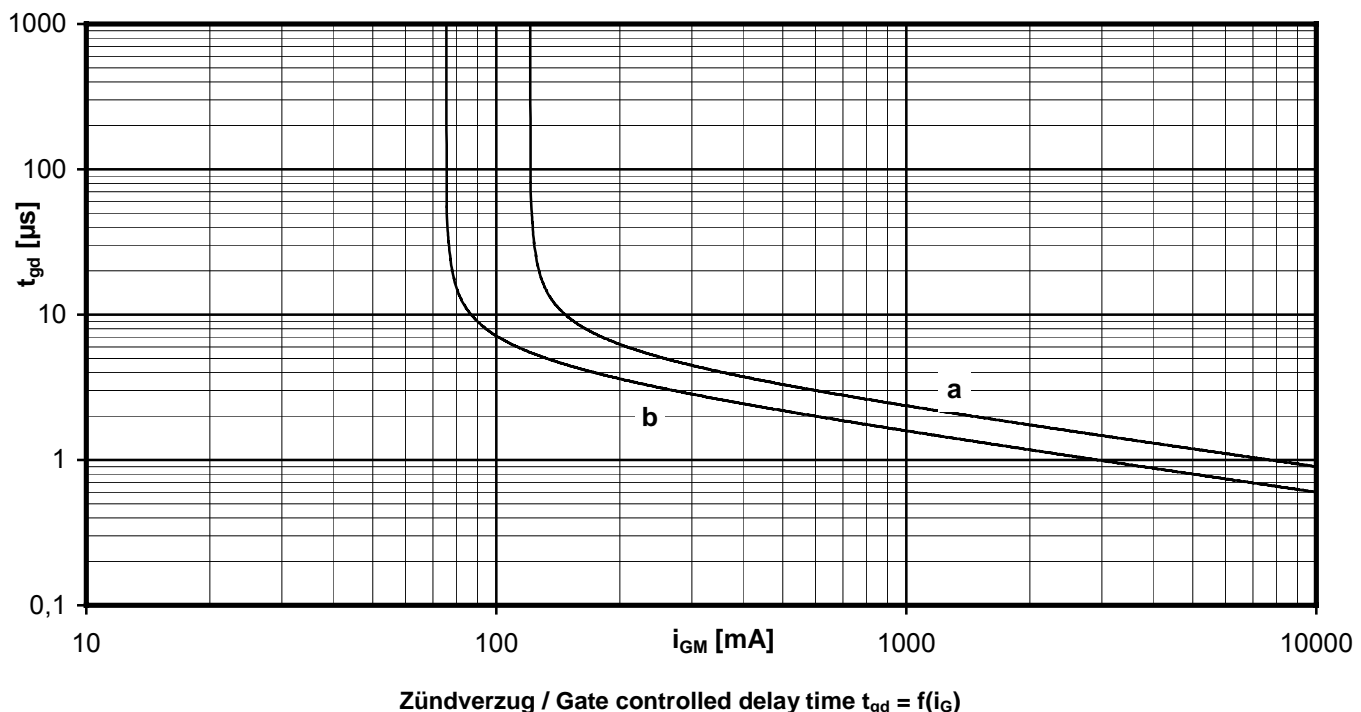
## Datenblatt / Data sheet

**eupc**Netz-Thyristor-Modul  
Phase Control Thyristor Modul**TT61N**

**Steuercharakteristik  $v_G = f(i_G)$  mit Zündbereichen für  $V_D = 6 \text{ V}$**   
**Gate characteristic  $v_G = f(i_G)$  with triggering area for  $V_D = 6 \text{ V}$**

Höchstzulässige Spitzensteuerverlustleistung / Maximum rated peak gate power dissipation  $P_{GM} = f(t_g)$  :

a - 40 W/10ms   b - 80 W/1ms   c - 100 W/0,5ms   d - 150W/0,1ms

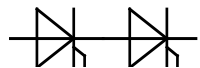


**Zündverzug / Gate controlled delay time  $t_{gd} = f(i_G)$**

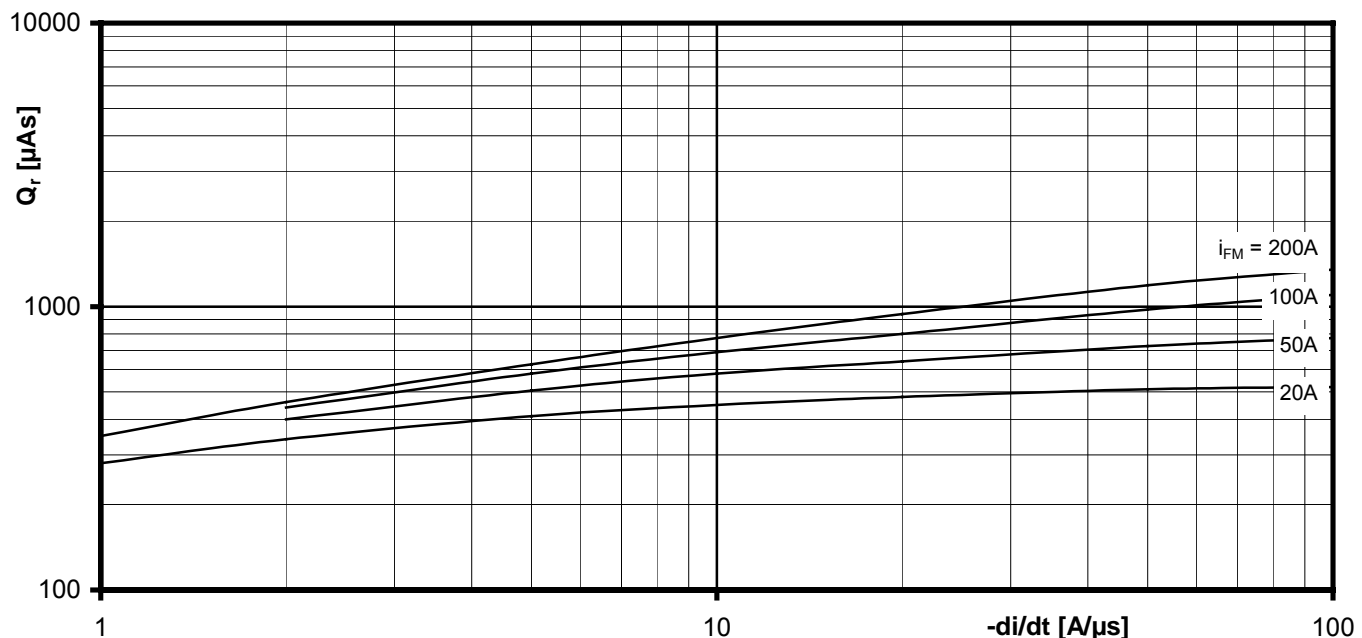
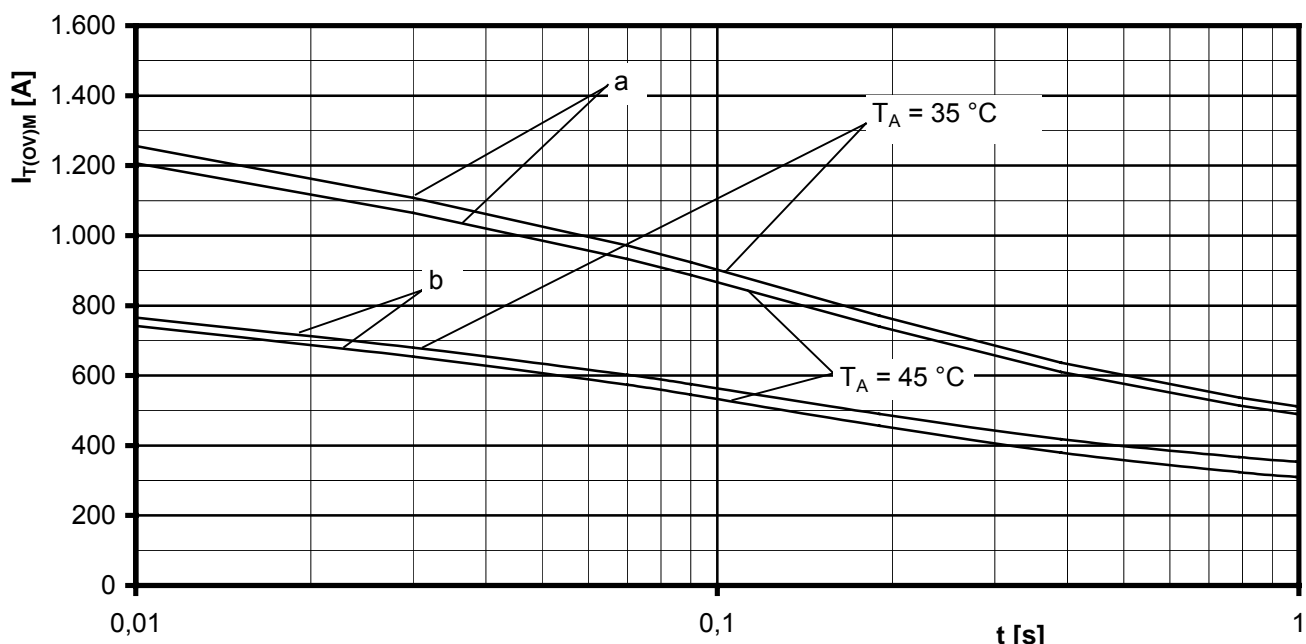
$$T_{vj} = 25^\circ\text{C}, di_G/dt = i_{GM}/1\mu\text{s}$$

a - maximaler Verlauf / Limiting characteristic

b - typischer Verlauf / Typical characteristic

**N**

## Datenblatt / Data sheet

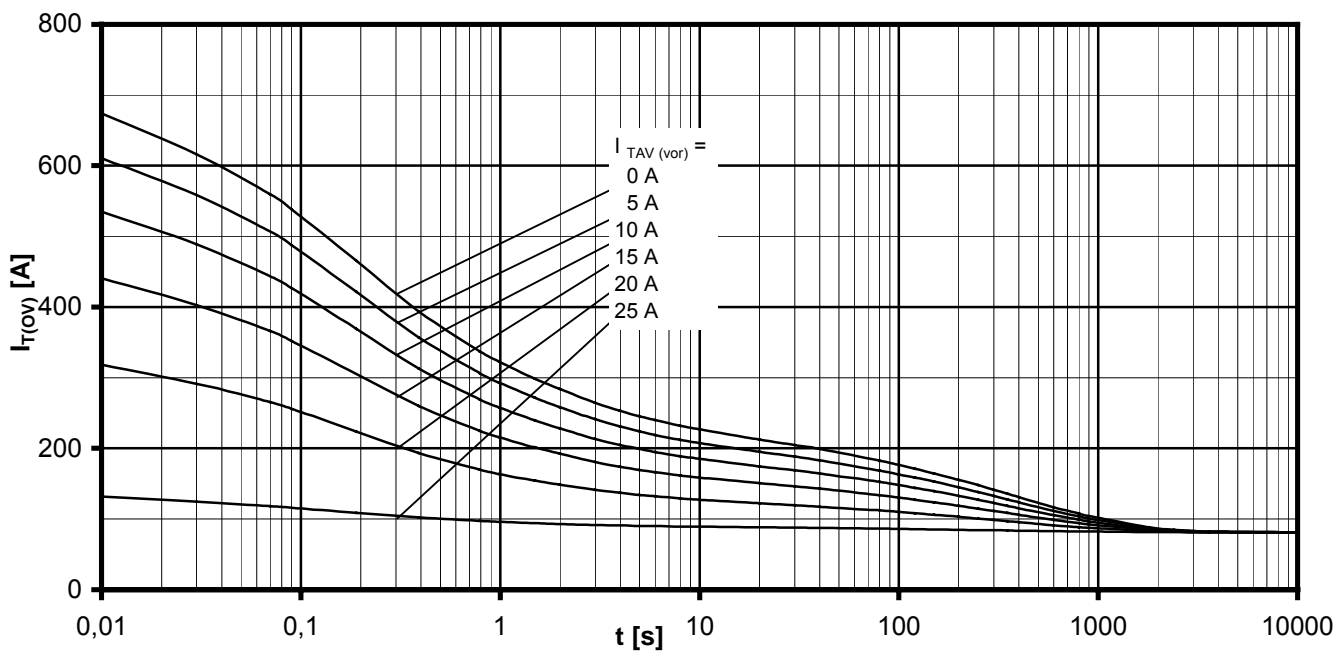
**eupc**Netz-Thyristor-Modul  
Phase Control Thyristor Modul**TT61N**Sperrverzögerungsladung / Recovered charge  $Q_r = f(-di/dt)$  $T_{vj} = T_{vjmax}, V_R \leq 0,5 V_{RRM}, V_{RM} = 0,8 V_{RRM}$ Parameter: Durchlaßstrom / On-state current  $i_{TM}$ Grenzstrom / Maximum overload on-state current  $I_{T(OV)M} = f(t), V_{RM} = 0,8 V_{RRM}$ 

Leerlauf / No-load conditions

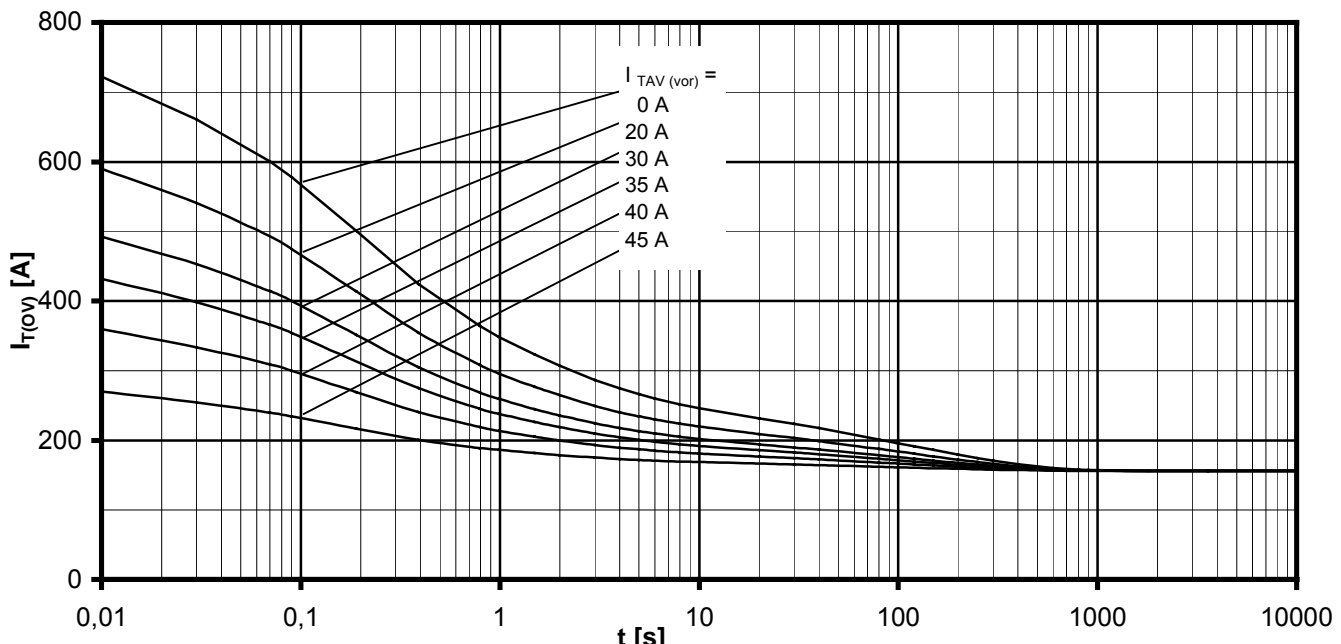
a:  $T_A = 35^\circ C$ , verstärkte Luftkühlung / Forced air coolingb:  $T_A = 45^\circ C$ , natürliche Luftkühlung / Natural air cooling

**N**

## Datenblatt / Data sheet

**eupc**Netz-Thyristor-Modul  
Phase Control Thyristor Modul**TT61N****Überstrom je Zweig / Overload on-state current  $I_{F(ov)}$** 

B6- Sechspuls-Brückenschaltung, 120° Rechteck / Six-pulse bridge circuit, 120° rectangular

Kühlkörper / Heatsink type KM14 (50W)      Natürliche Kühlung bei / Natural cooling at  $T_A = 45^\circ\text{C}$ Parameter: Vorlaststrom je Zweig / Pre-load current per arm  $I_{FAV(vor)}$ **Überstrom je Zweig / Overload on-state current  $I_{F(ov)}$** 

B6- Sechspuls-Brückenschaltung, 120° Rechteck / Six-pulse bridge circuit, 120° rectangular

Kühlkörper / Heatsink type KM14 (Papst 4650N)      Verstärkte Kühlung bei / Forced cooling at  $T_A = 35^\circ\text{C}$ Parameter: Vorlaststrom je Zweig / Pre-load current per arm  $I_{FAV(vor)}$